

# Bola de Demolição

## Wrecking Ball

 Margarida Ribeiro <sup>1,2</sup>, Ana Filipa Moleiro <sup>1,2</sup>, Teresa Dinah Bragança <sup>1</sup>

<sup>1</sup> Serviço de Oftalmologia, Centro Hospitalar Universitário de São João, Porto, Portugal

<sup>2</sup> Faculdade de Medicina da Universidade do Porto, Porto, Portugal

**Recebido/Received:** 2023-09-28 | **Aceite/Accepted:** 2023-01-02 | **Published online/Publicado online:** 2024-03-11 | **Publicado/Published:** 2024-03-22

© Author(s) (or their employer(s)) and *Oftalmologia* 2024. Re-use permitted under CC BY 4.0. ou Re-use permitted under CC BY. No commercial re-use.

© Autor (es) (ou seu (s) empregador (es)) e *Oftalmologia* 2024. Reutilização permitida de acordo com CC BY 4.0. ou Reutilização permitida de acordo com CC BY. Nenhuma reutilização comercial.

DOI: <https://doi.org/10.48560/rspo.32962>

**PALAVRAS-CHAVE:** Angiofluoresceinografia; Neoplasias da Coróide; Melanoma; Verde de Indocianina.

**KEYWORDS:** Choroid Neoplasms; Fluorescein Angiography; Indocyanine Green; Melanoma.

Doente do sexo feminino, 52 anos, caucasiana, recorreu ao Serviço de Urgência de Oftalmologia por noção de perda de campo visual temporal à esquerda e hipovisão progressiva do olho esquerdo (OE). Sem antecedentes sistémicos de relevo. No exame oftalmológico, a melhor acuidade visual corrigida era de 8/10 no olho direito (OD) e inferior a 1/10 no OE. A doente apresentava defeito pupilar aferente relativo esquerdo. Após midríase farmacológica, foi possível observar na fundoscopia do olho esquerdo uma lesão volumosa, com morfologia em cogumelo, pigmentada, com lâmina de descolamento da retina associado no quadrante temporal superior. O exame de tomografia de coerência ótica (OCT) demonstrou o descolamento exsudativo da retina associado com atingimento da fóvea. A ecografia modo B ocular evidenciou a lesão em cogumelo com hiperecogenicidade, com cerca de 12 mm de maior diâmetro basal e 10 mm de dimensão apical. Foi realizada angiografia com fluoresceína e verde de indocianina (ICG), que demonstra o padrão de dupla circulação da lesão, que consiste na presença de circulação

própria da lesão e da retina saudável sobreposta, melhor observada na angiografia com ICG. Este padrão é característico dos melanomas da coróide.<sup>1,2</sup> Apesar de raro, o melanoma da coróide é o tumor intra-ocular primário mais frequente no adulto. O diagnóstico é essencialmente clínico, mas os vários exames complementares disponíveis auxiliam o diagnóstico.<sup>3</sup> O estadiamento foi realizado, não apresentando invasão extra-ocular – pT3aNxM0. A doente foi enucleada e o exame histológico confirmou o diagnóstico.

### CONTRIBUTORSHIP STATEMENT / DECLARAÇÃO DE CONTRIBUIÇÃO:

MR: Redação da versão final do manuscrito, pesquisa bibliográfica, revisão e aprovação do manuscrito final.

AFM: Realização de exame angiográfico, revisão e aprovação do manuscrito final.

TDB: Revisão e aprovação do manuscrito final.

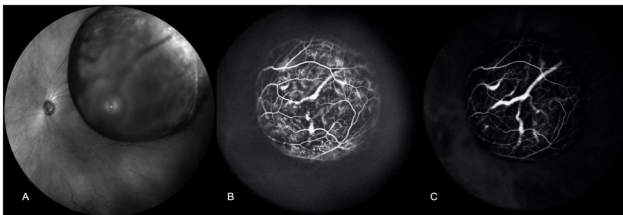
Todos os autores aprovaram a versão final a ser publicada.

MR: Writing the final version of the manuscript, bibliographical research, review and approval of the final manuscript.

AFM: Angiographic examination, review and approval of the final manuscript.

TDB: Review and approval of the final manuscript.

All the authors approved the final version to be published.



**Figura 1.** A imagem de infra-vermelho (A) evidencia a localização relativa da lesão. A angiografia com fluoresceína (B) e verde de indocianina (C) demonstra o padrão de dupla circulação (retiniana e coróideia) no melanoma da coróide.

## RESPONSABILIDADES ÉTICAS

**Conflitos de Interesse:** Os autores declaram a inexistência de conflitos de interesse na realização do presente trabalho.

**Fontes de Financiamento:** Não existiram fontes externas de financiamento para a realização deste artigo.

**Confidencialidade dos Dados:** Os autores declaram ter seguido os protocolos da sua instituição acerca da publicação dos dados de doentes.

**Consentimento:** Consentimento do doente para publicação obtido.

**Proveniência e Revisão por Pares:** Não comissionado; revisão externa por pares.

## ETHICAL DISCLOSURES

**Conflicts of Interest:** The authors have no conflicts of interest to declare.

**Financing Support:** This work has not received any contribution, grant or scholarship.

**Confidentiality of Data:** The authors declare that they have followed the protocols of their work center on the publication of data from patients.

**Patient Consent:** Consent for publication was obtained.

**Provenance and Peer Review:** Not commissioned; externally peer reviewed.

## REFERENCES

1. Shields CL, Shields JA, De Potter P. Patterns of indocyanine green videoangiography of choroidal tumours. *Br J Ophthalmol.* 1995;79:237-245
2. Augsburger JJ, Golden MI, Shields JA. Fluorescein angiography of choroidal malignant melanomas with retinal invasion. *Retina.* 1984;4:232-41. doi: 10.1097/00006982-198400440-00004. PMID: 6531518.
3. Shields CL, Manalac J, Das C, Ferguson K, Shields JA. Choroidal melanoma: clinical features, classification, and top 10 pseudomelanomas. *Curr Opin Ophthalmol.* 2014;25:177-85. doi: 10.1097/ICU.0000000000000041. PMID: 24614143.



**Corresponding Author/  
Autor Correspondente:**

**Margarida Ribeiro**  
Serviço de Oftalmologia, Centro Hospitalar e Universitário de São João Alameda Prof. Hernâni Monteiro, 4200-319 Porto, Portugal  
margarida.ribeiro.guimaraes@gmail.com

 ORCID: 0000-0002-0196-3840